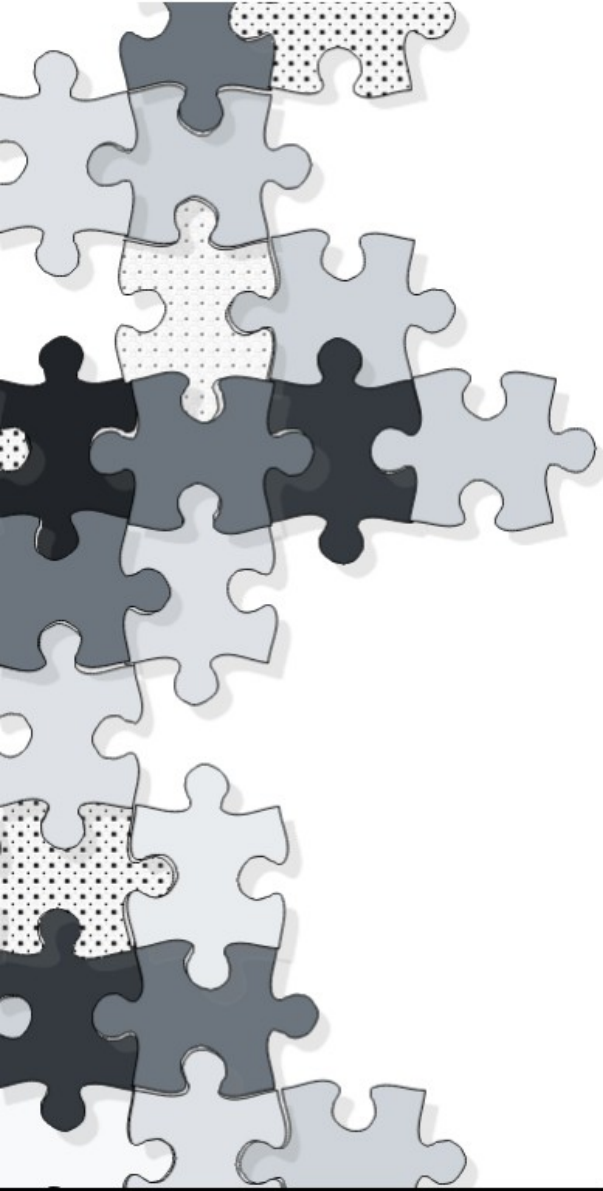




# Segunda Aula de Aerodinâmica



# Aerodinâmica Não-estacionária

Referência: Cap 10 – Wright & Cooper

# Coeficiente de Sustentação

Lift

VS

Coefficient of Lift

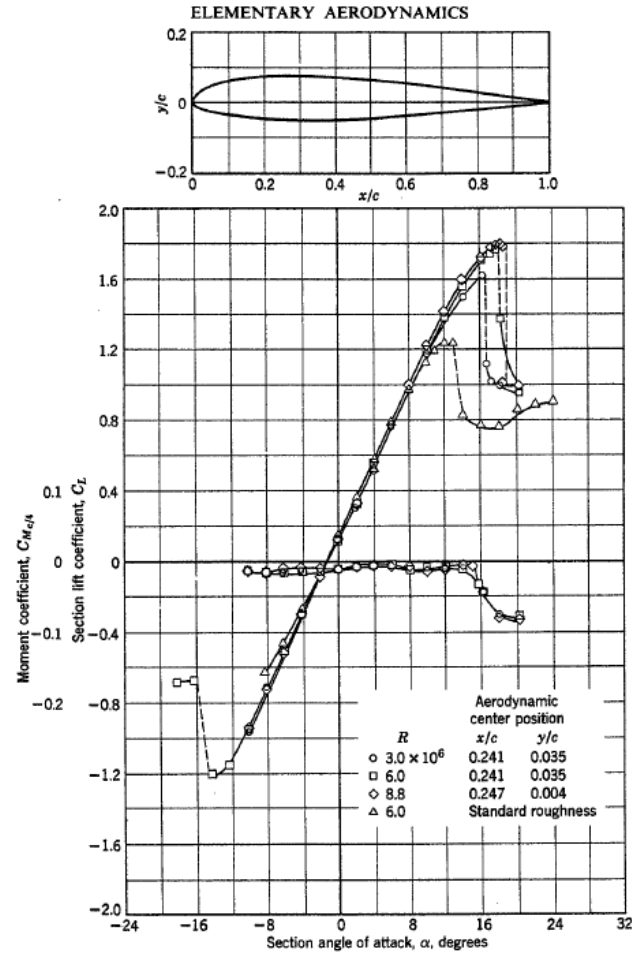
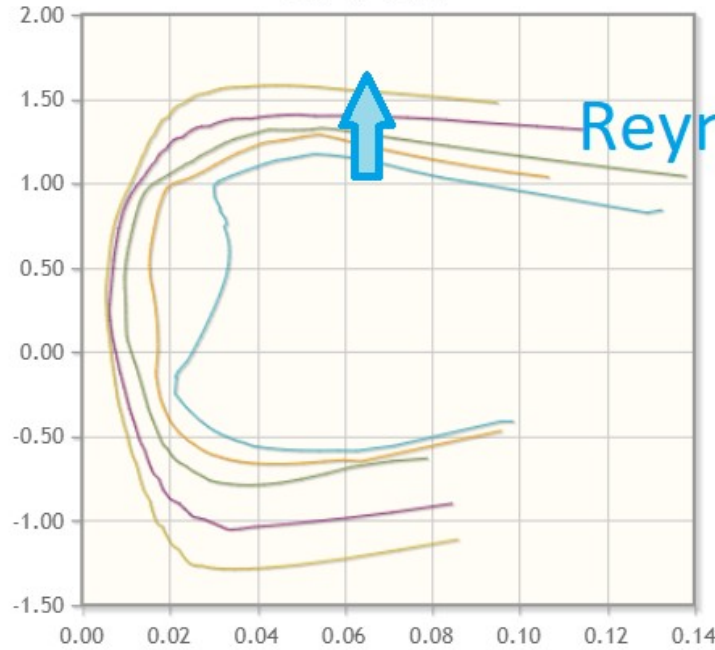


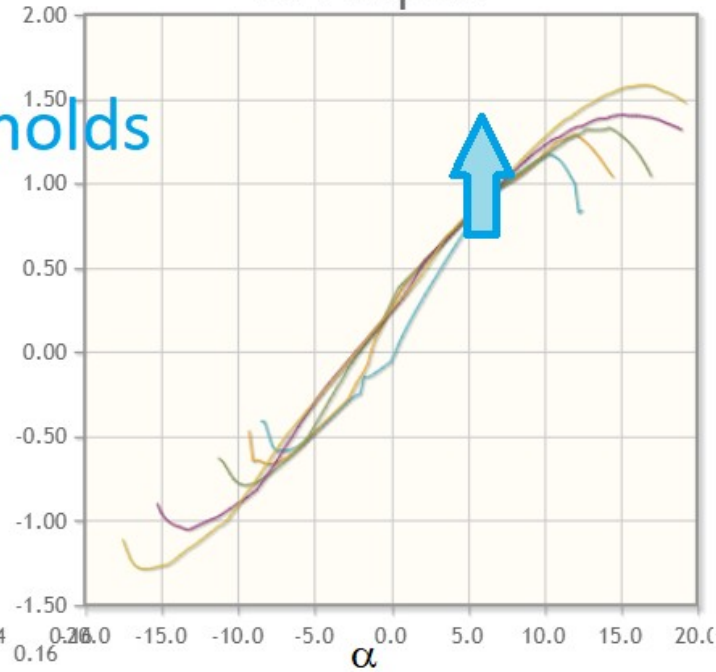
Fig. 1.11. Lift and moment characteristics for the NACA 23012 airfoil. The moment is taken about a point located at  $1/4$ -chord length behind the leading edge. The aerodynamic center location is computed from  $C_L$  and  $C_{M/4}$  data. The Reynolds number is seen to affect mainly the maximum lift coefficient. (From Abbott, von Doenhoff, and Stivers, *NACA Rept. 824*. Courtesy of the NACA.)

# Aerofólio

Cl v Cd



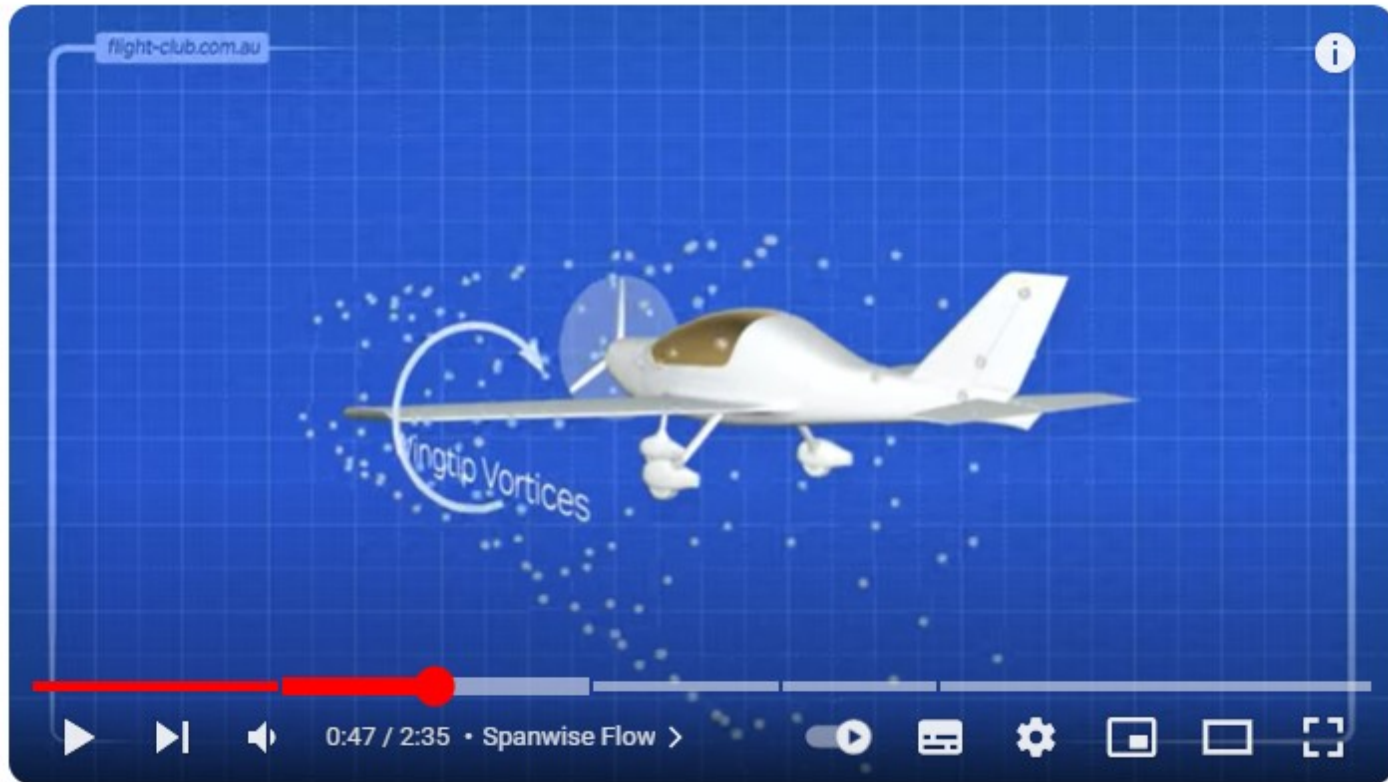
Cl v Alpha



Reynolds

<input checked="" type="checkbox"/>	50,000
<input checked="" type="checkbox"/>	100,000
<input checked="" type="checkbox"/>	200,000
<input checked="" type="checkbox"/>	500,000
<input checked="" type="checkbox"/>	1,000,000

# Entendendo o Arrasto



# Influência dos Tipos de Arrasto

$$C_L = f_1(\alpha, Re, M_\infty)$$

$$C_D = f_2(\alpha, Re, M_\infty)$$

$$C_M = f_3(\alpha, Re, M_\infty)$$



$$M_\infty = \frac{V_\infty}{a_\infty}$$

$$Re = \frac{\rho_\infty V_\infty c}{\mu_\infty}$$

RELEMBRANDO

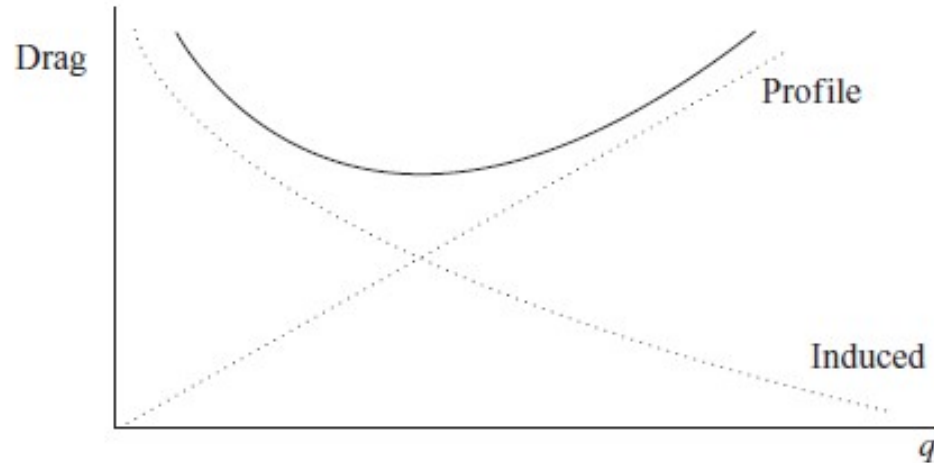


Figure 5.14 Variation of drag with dynamic pressure  $q$ .

$$C_D = C_{D0} + C_{Di} = C_{D0} + \frac{C_L^2}{\pi e' AR}$$

# Como a sustentação é gerada





# Recordação 1 - Aerodinâmica estacionária

O Boeing 777 tem uma asa com área em planta de  $427,82 \text{ m}^2$ .

- a) considere um peso de decolagem de  $2.250.800 \text{ N}$  e uma velocidade de decolagem de  $71,5 \text{ m/s}$ , calcule o coeficiente de sustentação ao nível do mar nas ISA.
- b) compare este resultado com coeficiente de sustentação no cruzeiro em  $\text{Mach} = 0,83$  a  $30000 \text{ ft}$  ( $9,14 \text{ Km}$ ) com o mesmo peso

# O que é aerodinâmica não-estacionária?

- antes: forças e momentos constantes com o tempo
- flutter, manobras e rajadas → devemos incluir o efeito do movimento de superfícies aerodinâmicas sob ação das forças e momentos gerados

# Flutter



## Aerodinâmica quase-estacionária

- quando o aerofólio aumenta ou diminui o ângulo de arfagem em relação ao escoamento → as forças e momentos variam com o tempo
- considera-se que em qualquer instante de tempo o aerofólio se comporta como se estivesse se movendo com velocidades de arfagem igual aos valores instantâneos → não há efeitos dependentes da frequência

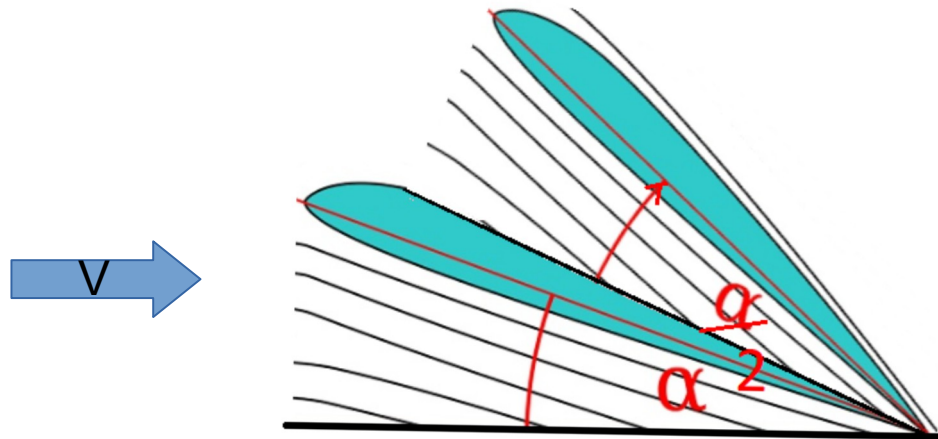
## Aerodinâmica não-estacionária

- empregada em modelos mais sofisticados onde se tem flutter e resposta a rajadas de vento
- forças e momentos aerodinâmicos dependem da frequência

# Mudança instantânea do ângulo de incidência

## Função de Wagner

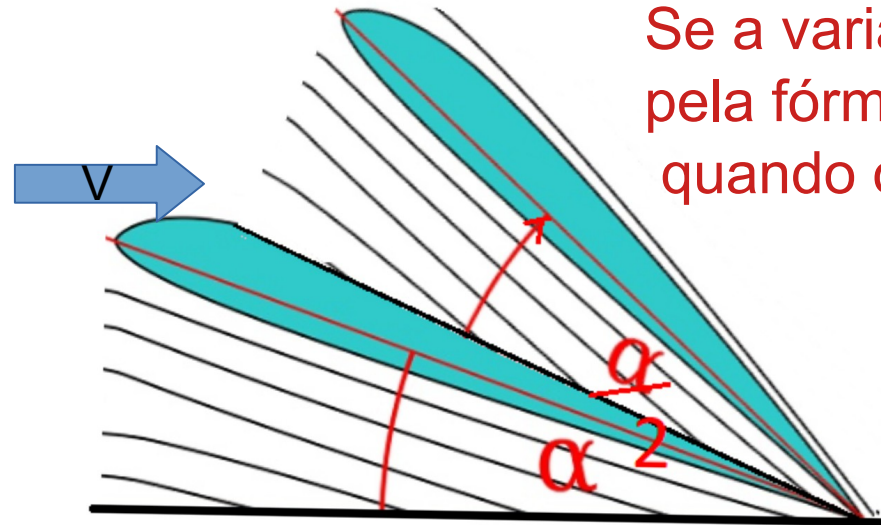
- escoamento não-viscoso e incompressível
- mudança instantânea  $\rightarrow \Delta\alpha = \alpha/2 \rightarrow \Delta L = 50\%$   
 $\rightarrow$  quase-estacionário



# Mudança instantânea do ângulo de incidência

## Função de Wagner

- escoamento não-viscoso e incompressível
- se alterar o ângulo de ataque instantaneamente em 50% →  
 $\Delta\alpha = \alpha/2$

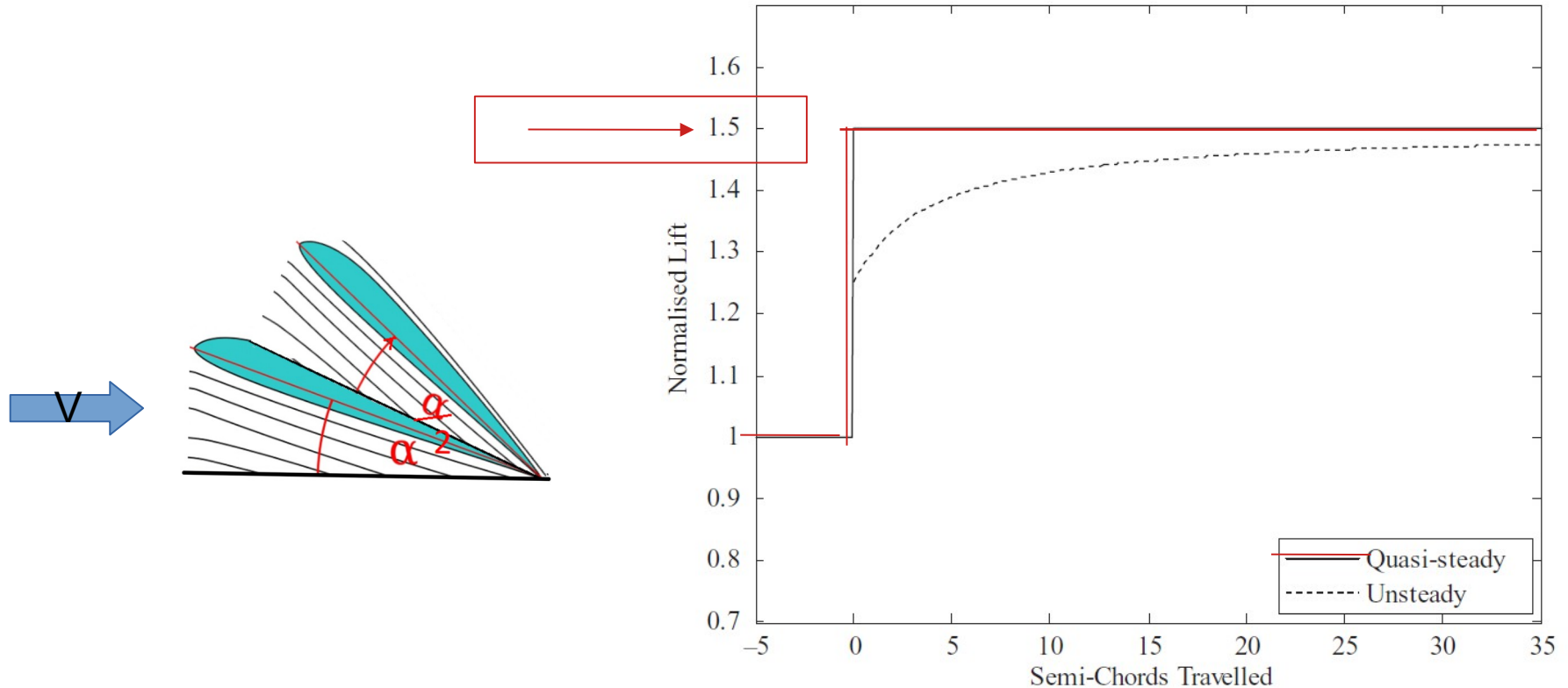


Se a variação da sustentação pode ser representada pela fórmula abaixo, de quanto varia a sustentação quando o ângulo de ataque aumenta 50%??

$$\Delta L = \frac{1}{2} \rho V^2 c a_1 \Delta\alpha$$

# Mudança instantânea do ângulo de incidência

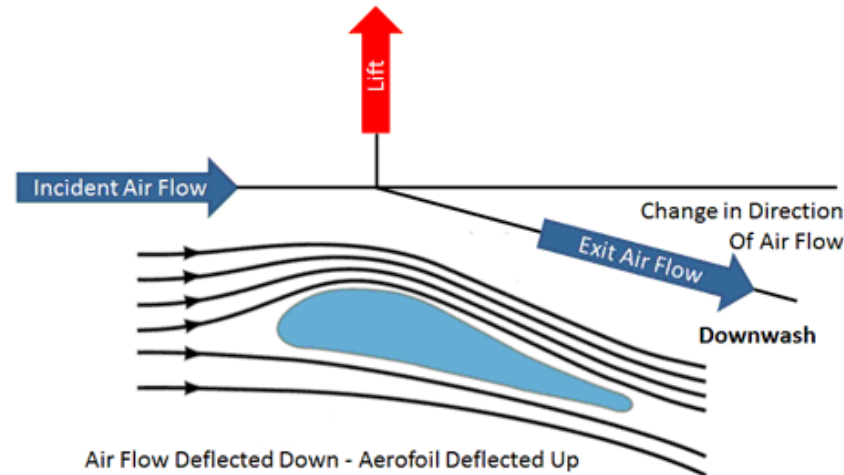
## Função de Wagner





# Função de Wagner

- Fung e Bisplinghoff → como a sustentação age no quarto de corda do aerofólio com a mudança da incidência ou da velocidade.
- é obtida o “downwash” no ponto de  $\frac{3}{4}$  c. É a componente de velocidade normal ao aerofólio



# Função de Wagner

- considerando o tempo adimensional  $\tau$ :

$$\tau = 2 V t / c$$

- o aumento da sustentação por unidade de envergadura provocado pela variação do ângulo de incidência  $\Delta\alpha$ :

$$\Delta L = \frac{1}{2} \rho V^2 c a_1 \Delta\alpha \Phi(\tau) = \frac{1}{2} \rho V c a_1 \omega \Phi(\tau)$$

Onde  $\omega = V \sin \alpha \approx V \Delta\alpha$  é a mudança no downwash do aerofólio e  $\Phi(\tau)$  é a Função de Wagner.

# Função de Wagner

- definida no caso incompressível por:

(Fung 1969 e Bisplinghoff et al 1996)

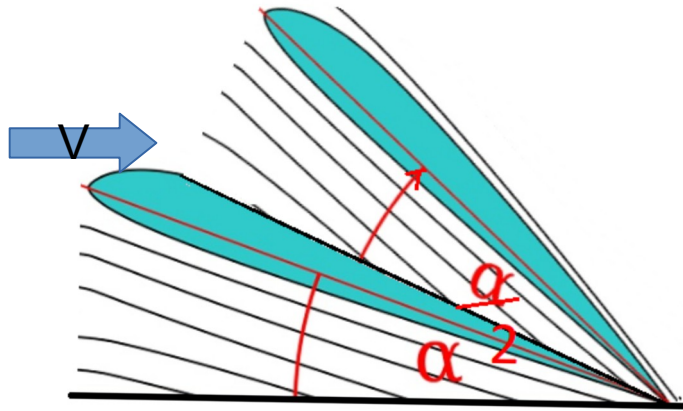
$$\Phi(\tau) = 0, \quad \tau \leq 0 \quad \text{and} \quad \Phi(\tau) = \frac{\tau + 2}{\tau + 4}, \quad \tau > 0.$$

Muitas vezes é definida por funções exponenciais que são mais fáceis de manipular

# Ref faça o exercício abaixo usando a Função de Wagner

Se a variação da sustentação pode ser representada pela fórmula abaixo, de quanto varia a sustentação quando o ângulo de ataque aumenta instantaneamente 50% nos tempos 1, 5 e 10??

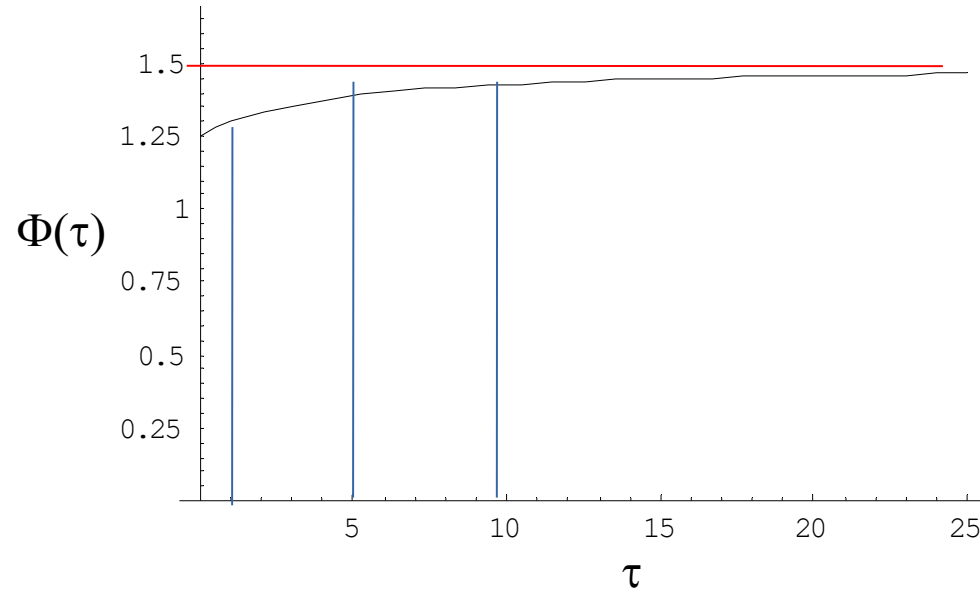
$$\Delta L = \frac{1}{2} \rho V^2 c a_1 \Delta \alpha \Phi(\tau)$$



Função de  
Wagner

$$\left\{ \begin{array}{l} \Phi = 0 \dots\dots\dots \tau \leq 0 \\ \Phi = \frac{\tau + 2}{\tau + 4} \dots \tau > 0 \end{array} \right.$$

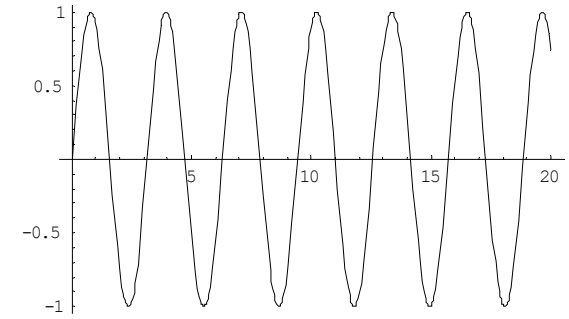
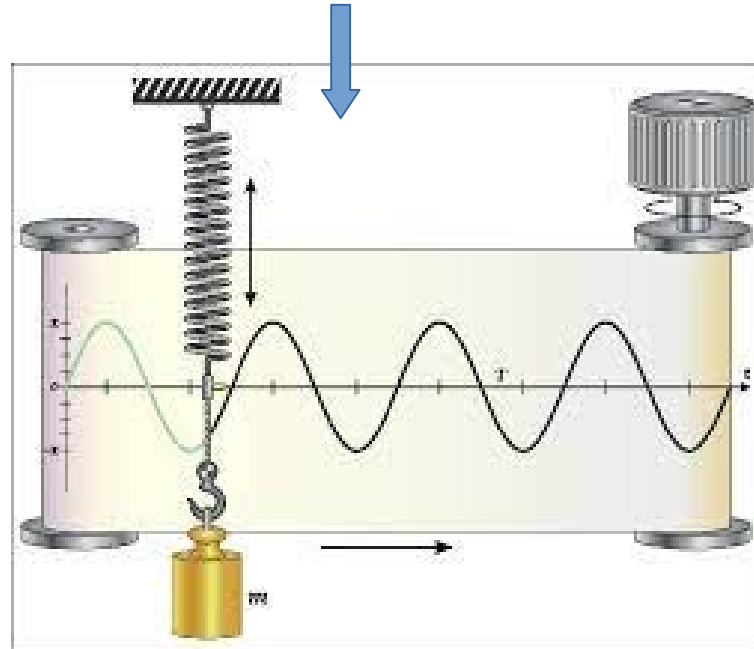
# Representação gráfica da Função de Wagner



$$\Phi(\tau) = 0, \quad \tau \leq 0 \quad \text{and} \quad \Phi(\tau) = \frac{\tau + 2}{\tau + 4}, \quad \tau > 0.$$

# Movimento Harmônico – Convolução na Função de Wagner

Aerofólio oscilando senoidalmente  
em arfagem  $\alpha = \alpha_0 \sin \omega t$   
OCORRE NA FRONTEIRA DO FLUTTER



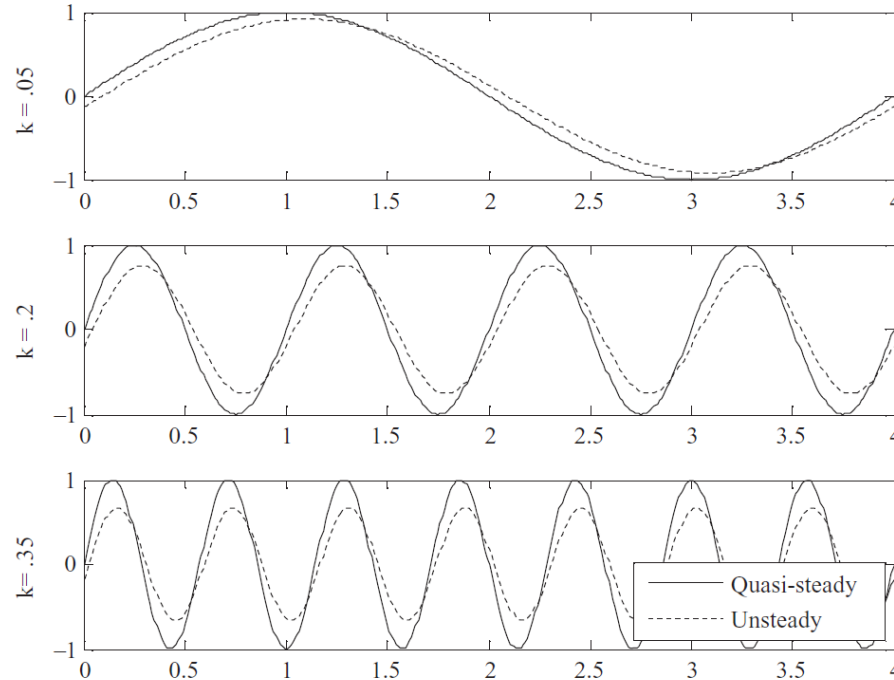
# Movimento Harmônico – Função de Theodorsen

O atraso de fase é função do parâmetro:

$$\nu = \frac{\omega c}{V},$$

E a frequência reduzida é:

$$k = \frac{\omega c}{2V} = \frac{\nu}{2}.$$



**Figure 10.3** Unsteady lift for an oscillating aerofoil at different reduced frequencies.

# Movimento Harmônico – Função de Theodorsen

- a Função de Theodorsen modela as mudanças de amplitude e fase das forças aerodinâmicas não-estacionárias em relação as quase-estacionárias para diferentes frequências reduzidas
- é a transformada de Fourier da Função de Wagner

$$C(k) = F(k) + iG(k) = \frac{H_1^{(2)}(k)}{H_1^{(2)}(k) + iH_0^{(2)}(k)} = \frac{K_1(ik)}{K_0(ik) + K_1(ik)},$$

$H_n^{(2)}$  Funções de Hankel de segundo tipo

$K_j(ik)$  ( $j=0,1,\dots$ ) são funções de modificadas de Bessel de segundo tipo



# Funções de Bessel e Hankel

Definimos as funções de Hankel de primeiro e segundo tipo como combinação das funções de Bessel de primeiro e segundo tipo.

$$C(k) = F(k) + iG(k) = \frac{H_1^{(2)}(k)}{H_1^{(2)}(k) + iH_0^{(2)}(k)} = \frac{K_1(ik)}{K_0(ik) + K_1(ik)},$$

# Movimento Harmônico – Função de Theodorsen

As expressões aproximadas de  $C(k)$ :

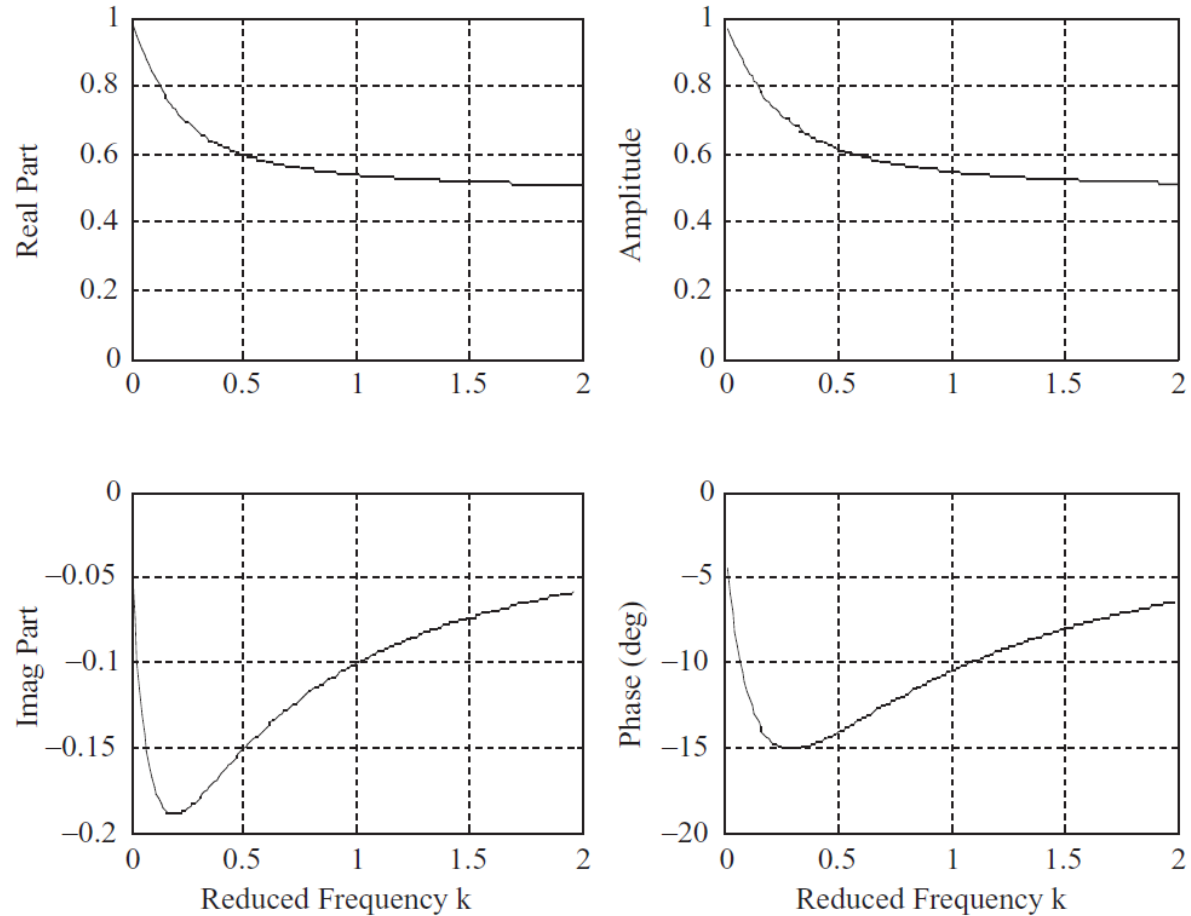
$$C(k) = 1 - \frac{0.165}{1 - \frac{0.045}{k}i} - \frac{0.335}{1 - \frac{0.30}{k}i}, \quad k \leq 0.5,$$

$$= 1 - \frac{0.165}{1 - \frac{0.041}{k}i} - \frac{0.335}{1 - \frac{0.32}{k}i}, \quad k > 0.5.$$

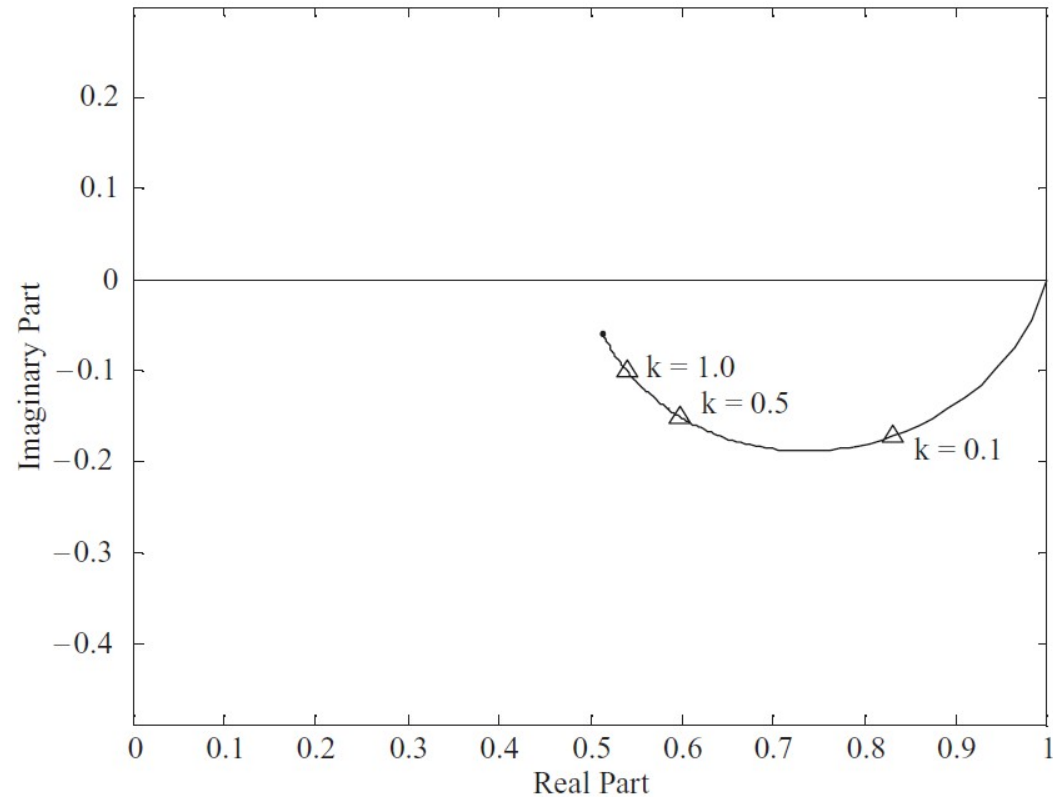
## Exercício: Função de Theodorsen

Obter a parte real e imaginária da Função de Theodorsen em função da frequência reduzida.

# Movimento Harmônico – Função de Theodorsen

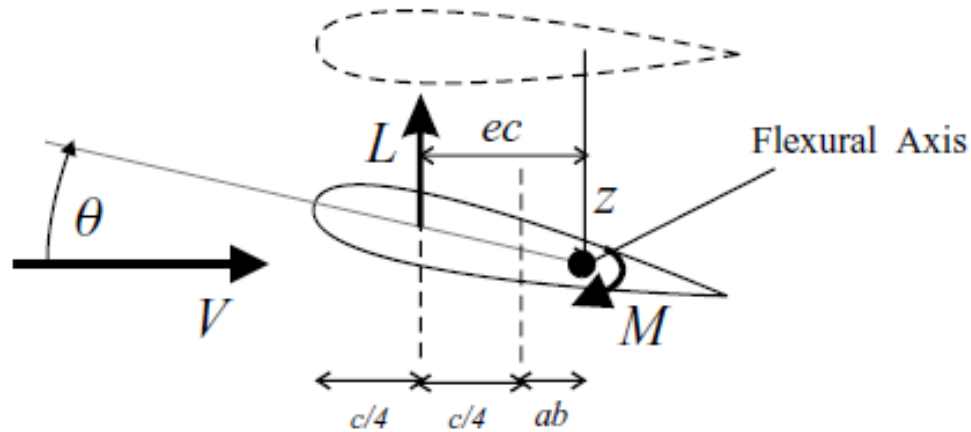


# Movimento Harmônico – Função de Theodorsen



**Figure 10.5** Complex plane representation of Theodorsen's function.

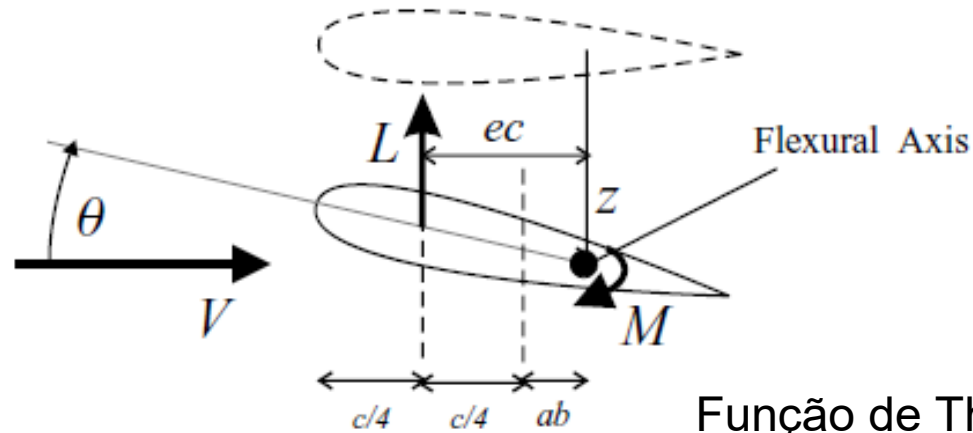
# Sustentação e Momento Aerodinâmico para um aerofólio em Movimento Harmônico



Considerações:

- aerofólio simétrico de corda  $c$
- oscilação harmônica do aerofólio  $z = z_0 e^{i\omega t}$  - positivo para baixo
- oscilação harmônica em arfagem  $\theta = \theta_0 e^{i\omega t}$  - positivo para cima
- $a_1 = 2\pi$

# Sustentação e Momento Aerodinâmico para um aerofólio em Movimento Harmônico



Função de Theodorsen

$$L = \pi \rho b^2 [\ddot{z} + V\dot{\theta} - ba\ddot{\theta}] + 2\pi \rho V b \boxed{C(k)} \left[ \dot{z} + V\theta + b \left( \frac{1}{2} - a \right) \dot{\theta} \right],$$

$$M = \pi \rho b^2 \left[ ba\ddot{z} - Vb \left( \frac{1}{2} - a \right) \dot{\theta} - b^2 \left( \frac{1}{8} + a^2 \right) \ddot{\theta} \right]$$

$$+ 2\pi \rho V b^2 \left( a + \frac{1}{2} \right) \boxed{C(k)} \left[ \dot{z} + V\theta + b \left( \frac{1}{2} - a \right) \dot{\theta} \right].$$

(Theodorsen, 1935; Fung, 1969; Bisplinghoff et al., 1996)

# Sustentação e Momento Aerodinâmico

$$L = \pi \rho b^2 [\ddot{z} + V \dot{\theta} - ba \ddot{\theta}] + 2\pi \rho V b C(k) \left[ \dot{z} + V \theta + b \left( \frac{1}{2} - a \right) \dot{\theta} \right],$$

$$M = \pi \rho b^2 \left[ ba \ddot{z} - V b \left( \frac{1}{2} - a \right) \dot{\theta} - b^2 \left( \frac{1}{8} + a^2 \right) \ddot{\theta} \right] \\ + 2\pi \rho V b^2 \left( a + \frac{1}{2} \right) C(k) \left[ \dot{z} + V \theta + b \left( \frac{1}{2} - a \right) \dot{\theta} \right].$$

$$z = z_0 e^{i\omega t}$$

$$\theta = \theta_0 e^{i\omega t}$$



$$C(k) = F + i G \text{ (Theodorsen)}$$

**Se fizermos esta substituição, como ficará a sustentação e o momento??**



# Sustentação e Momento Aerodinâmico

$$L = \pi \rho b^2 [\ddot{z} + V \dot{\theta} - ba \ddot{\theta}] + 2\pi \rho V b C(k) \left[ \dot{z} + V \theta + b \left( \frac{1}{2} - a \right) \dot{\theta} \right],$$

$$M = \pi \rho b^2 \left[ ba \ddot{z} - V b \left( \frac{1}{2} - a \right) \dot{\theta} - b^2 \left( \frac{1}{8} + a^2 \right) \ddot{\theta} \right] \\ + 2\pi \rho V b^2 \left( a + \frac{1}{2} \right) C(k) \left[ \dot{z} + V \theta + b \left( \frac{1}{2} - a \right) \dot{\theta} \right].$$

$$z = z_0 e^{i\omega t}$$

$$\theta = \theta_0 e^{i\omega t}$$



$$C(k) = F + i G \text{ (Theodorsen)}$$

$$L = \left\{ \pi \rho b^2 \left[ -\omega^2 z_0 + i\omega V \theta_0 + \omega^2 ba \theta_0 \right] + 2\pi \rho V b (F + iG) \left[ i\omega z_0 + V \theta_0 + i\omega b \left( \frac{1}{2} - a \right) \theta_0 \right] \right\} e^{i\omega t},$$

$$M = \left\{ \pi \rho b^2 \left( -\omega^2 ba z_0 - i\omega V b \left( \frac{1}{2} - a \right) \theta_0 + b^2 \omega^2 \left( \frac{1}{8} + a^2 \right) \theta_0 \right) \right. \\ \left. + 2\pi \rho V b^2 \left( a + \frac{1}{2} \right) (F + iG) \left( i\omega z_0 + V \theta_0 + i\omega b \left( \frac{1}{2} - a \right) \theta_0 \right) \right\} e^{i\omega t}$$

# Sustentação e Momento Aerodinâmico

$$L = \left\{ \pi \rho b^2 \left[ -\omega^2 z_0 + i\omega V \theta_0 + \omega^2 b a \theta_0 \right] + 2\pi \rho V b (F + iG) \left[ i\omega z_0 + V \theta_0 + i\omega b \left( \frac{1}{2} - a \right) \theta_0 \right] \right\} e^{i\omega t},$$

$$M = \left\{ \pi \rho b^2 \left( -\omega^2 b a z_0 - i\omega V b \left( \frac{1}{2} - a \right) \theta_0 + b^2 \omega^2 \left( \frac{1}{8} + a^2 \right) \theta_0 \right) \right. \\ \left. + 2\pi \rho V b^2 \left( a + \frac{1}{2} \right) (F + iG) \left( i\omega z_0 + V \theta_0 + i\omega b \left( \frac{1}{2} - a \right) \theta_0 \right) \right\} e^{i\omega t}$$



$$L = \rho V^2 b \left[ (L_z + ikL_{\dot{z}}) \frac{z_0}{b} + (L_\theta + ikL_{\dot{\theta}}) \theta_0 \right] e^{i\omega t},$$

$$M = \rho V^2 b^2 \left[ (M_z + ikM_{\dot{z}}) \frac{z_0}{b} + (M_\theta + ikM_{\dot{\theta}}) \theta_0 \right] e^{i\omega t},$$

# Termos de Sustentação e Momento Aerodinâmico

$$L_z = 2\pi \left( -\frac{k^2}{2} - Gk \right), \quad L_z = 2\pi F,$$

$$L_\theta = 2\pi \left[ \frac{k^2 a}{2} + F - Gk \left( \frac{1}{2} - a \right) \right], \quad L_{\dot{\theta}} = 2\pi \left[ \frac{1}{2} + F \left( \frac{1}{2} - a \right) + \frac{G}{k} \right],$$

$$M_z = 2\pi \left[ -\frac{k^2 a}{2} - k \left( a + \frac{1}{2} \right) G \right], \quad M_z = 2\pi \left( a + \frac{1}{2} \right) F,$$

$$M_\theta = 2\pi \left[ \frac{k^2}{2} \left( \frac{1}{8} + a^2 \right) + F \left( a + \frac{1}{2} \right) - kG \left( a + \frac{1}{2} \right) \left( \frac{1}{2} - a \right) \right],$$

$$M_{\dot{\theta}} = 2\pi \left[ -\frac{k}{2} \left( \frac{1}{2} - a \right) + kF \left( a + \frac{1}{2} \right) \left( \frac{1}{2} - a \right) + \frac{G}{k} \left( a + \frac{1}{2} \right) \right].$$

# Caso quase-estacionário

Se  $k \rightarrow 0$ ,  $G \rightarrow 0$  e  $F \rightarrow 1$  como se modificaria a expressão abaixo?

$$L_z = 2\pi \left( -\frac{k^2}{2} - Gk \right), \quad L_z = 2\pi F,$$

$$L_\theta = 2\pi \left[ \frac{k^2 a}{2} + F - Gk \left( \frac{1}{2} - a \right) \right], \quad L_{\dot{\theta}} = 2\pi \left[ \frac{1}{2} + F \left( \frac{1}{2} - a \right) + \frac{G}{k} \right],$$

$$M_z = 2\pi \left[ -\frac{k^2 a}{2} - k \left( a + \frac{1}{2} \right) G \right], \quad M_z = 2\pi \left( a + \frac{1}{2} \right) F,$$

$$M_\theta = 2\pi \left[ \frac{k^2}{2} \left( \frac{1}{8} + a^2 \right) + F \left( a + \frac{1}{2} \right) - kG \left( a + \frac{1}{2} \right) \left( \frac{1}{2} - a \right) \right],$$

$$M_{\dot{\theta}} = 2\pi \left[ -\frac{k}{2} \left( \frac{1}{2} - a \right) + kF \left( a + \frac{1}{2} \right) \left( \frac{1}{2} - a \right) + \frac{G}{k} \left( a + \frac{1}{2} \right) \right].$$

# Caso quase-estacionário

$$L_z = 2\pi \left( -\frac{k^2}{2} - Gk \right), \quad L_{\dot{z}} = 2\pi F,$$

$$L_\theta = 2\pi \left[ \frac{k^2 a}{2} + F - Gk \left( \frac{1}{2} - a \right) \right], \quad L_{\dot{\theta}} = 2\pi \left[ \frac{1}{2} + F \left( \frac{1}{2} - a \right) + \frac{G}{k} \right],$$

$$k \rightarrow 0, \quad F \rightarrow 1, \quad G \rightarrow 0 \quad \longrightarrow$$

Lembrando que  $k = \frac{\omega b}{V},$

$$M_z = 2\pi \left[ -\frac{k^2 a}{2} - k \left( a + \frac{1}{2} \right) G \right], \quad M_{\dot{z}} = 2\pi \left( a + \frac{1}{2} \right) F,$$

$$M_\theta = 2\pi \left[ \frac{k^2}{2} \left( \frac{1}{8} + a^2 \right) + F \left( a + \frac{1}{2} \right) - kG \left( a + \frac{1}{2} \right) \left( \frac{1}{2} - a \right) \right],$$

$$M_{\dot{\theta}} = 2\pi \left[ -\frac{k}{2} \left( \frac{1}{2} - a \right) + kF \left( a + \frac{1}{2} \right) \left( \frac{1}{2} - a \right) + \frac{G}{k} \left( a + \frac{1}{2} \right) \right].$$

$$L_z = 0, \quad L_{\dot{z}} = 2\pi, \quad L_\theta = 2\pi, \quad \boxed{k} L_{\dot{\theta}} = 0, \quad M_z = 0,$$

$$M_{\dot{z}} = 2\pi \left( a + \frac{1}{2} \right), \quad M_\theta = 2\pi \left( a + \frac{1}{2} \right), \quad \boxed{k} M_{\dot{\theta}} = 0.$$

# Amortecimento Aerodinâmico e Rigidez

$$L = \rho V^2 b \left[ (L_z + ikL_{\dot{z}}) \frac{z_0}{b} + (L_\theta + ikL_{\dot{\theta}}) \theta_0 \right] e^{i\omega t},$$

$$M = \rho V^2 b^2 \left[ (M_z + ikM_{\dot{z}}) \frac{z_0}{b} + (M_\theta + ikM_{\dot{\theta}}) \theta_0 \right] e^{i\omega t},$$

$$k = \frac{\omega b}{V}, \quad z = z_0 e^{i\omega t}, \quad \dot{z} = i\omega z_0 e^{i\omega t}, \quad \theta = \theta_0 e^{i\omega t} \quad \text{and} \quad \dot{\theta} = i\omega \theta_0 e^{i\omega t}.$$

$$L = \rho V^2 \left( L_z z + L_{\dot{z}} \frac{b\dot{z}}{V} + L_\theta b\theta + L_{\dot{\theta}} \frac{b^2\dot{\theta}}{V} \right), \quad M = \rho V^2 \left( M_z b z + M_{\dot{z}} \frac{b^2\dot{z}}{V} + M_\theta b^2\theta + M_{\dot{\theta}} \frac{b^3\dot{\theta}}{V} \right),$$

$$\begin{Bmatrix} L \\ M \end{Bmatrix} = \rho V \begin{bmatrix} bL_{\dot{z}} & b^2L_{\dot{\theta}} \\ b^2M_{\dot{z}} & b^3M_{\dot{\theta}} \end{bmatrix} \begin{Bmatrix} \dot{z} \\ \dot{\theta} \end{Bmatrix} + \rho V^2 \begin{bmatrix} L_z & bL_\theta \\ bM_z & b^2M_\theta \end{bmatrix} \begin{Bmatrix} z \\ \theta \end{Bmatrix} = \rho V \mathbf{B} \begin{Bmatrix} \dot{z} \\ \dot{\theta} \end{Bmatrix} + \rho V^2 \mathbf{C} \begin{Bmatrix} z \\ \theta \end{Bmatrix}.$$

# Amortecimento Aerodinâmico e Rigidez

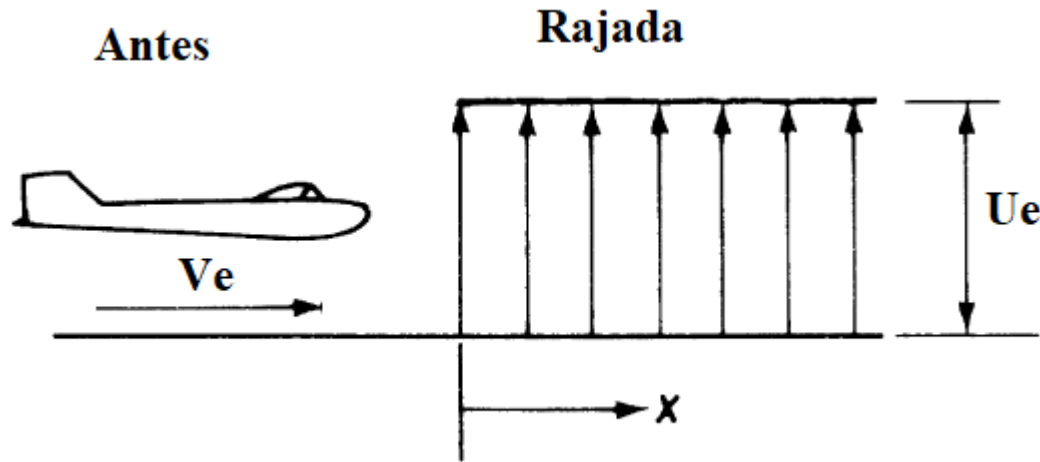
$$\begin{Bmatrix} L \\ M \end{Bmatrix} = \rho V \begin{bmatrix} bL_{\dot{z}} & b^2L_{\dot{\theta}} \\ b^2M_{\dot{z}} & b^3M_{\dot{\theta}} \end{bmatrix} \begin{Bmatrix} \dot{z} \\ \dot{\theta} \end{Bmatrix} + \rho V^2 \begin{bmatrix} L_z & bL_{\theta} \\ bM_z & b^2M_{\theta} \end{bmatrix} \begin{Bmatrix} z \\ \theta \end{Bmatrix} = \boxed{\rho V \mathbf{B} \begin{Bmatrix} \dot{z} \\ \dot{\theta} \end{Bmatrix}} + \boxed{\rho V^2 \mathbf{C} \begin{Bmatrix} z \\ \theta \end{Bmatrix}}.$$


$$\mathbf{A} \ddot{\mathbf{q}} + (\rho V \mathbf{B} + \mathbf{D}) \dot{\mathbf{q}} + (\rho V^2 \mathbf{C} + \mathbf{E}) \mathbf{q} = 0,$$

A – inércia estrutural, D – amortecimento estrutural e E – rigidez estrutural

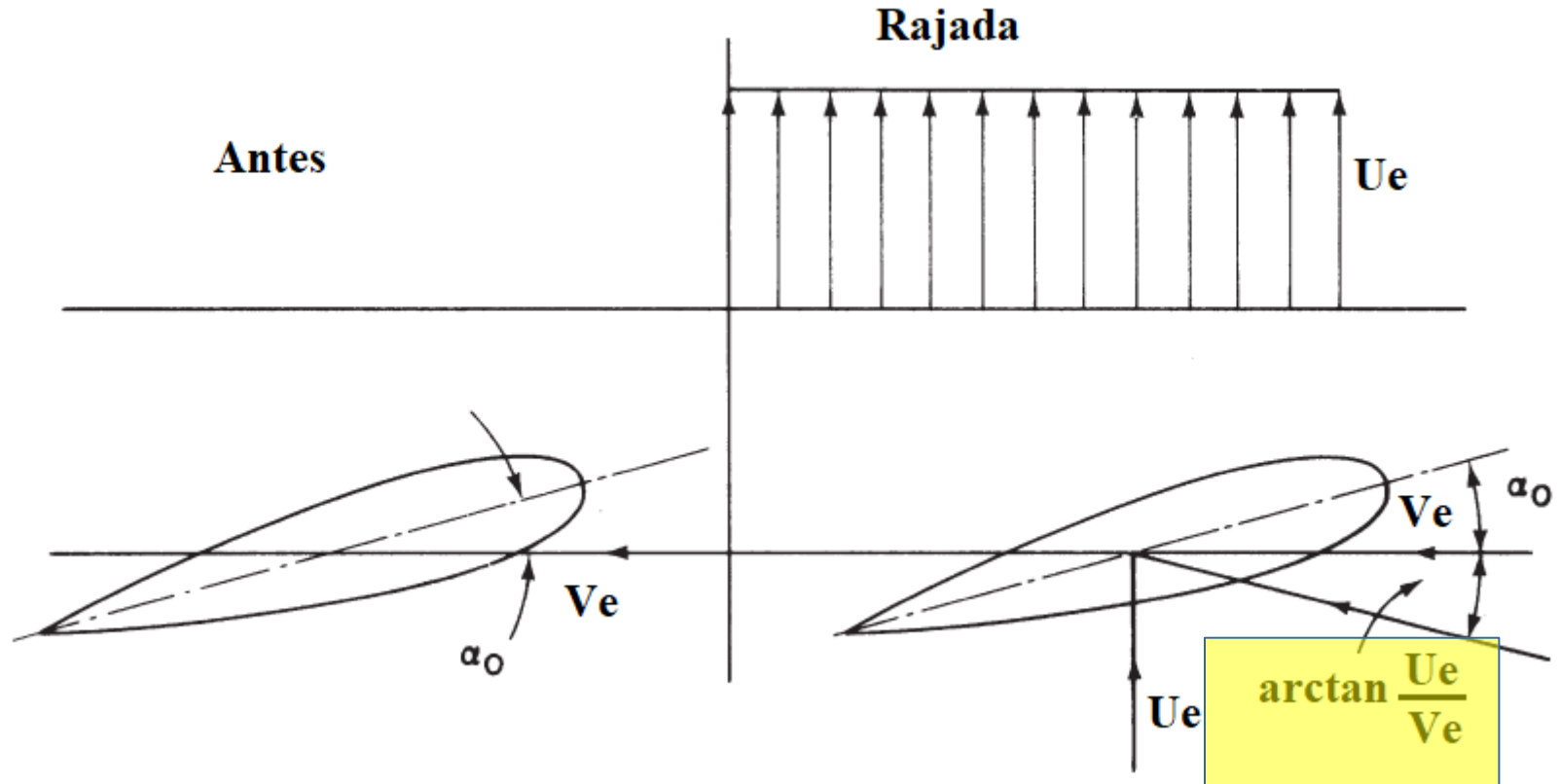
# Rajada de Contorno Vivo

O modelo de rajada conhecido como contorno vivo parte do princípio que a aeronave está voando em ar calmo e, subitamente, entra na rajada com uma velocidade  $Ue$  para cima.

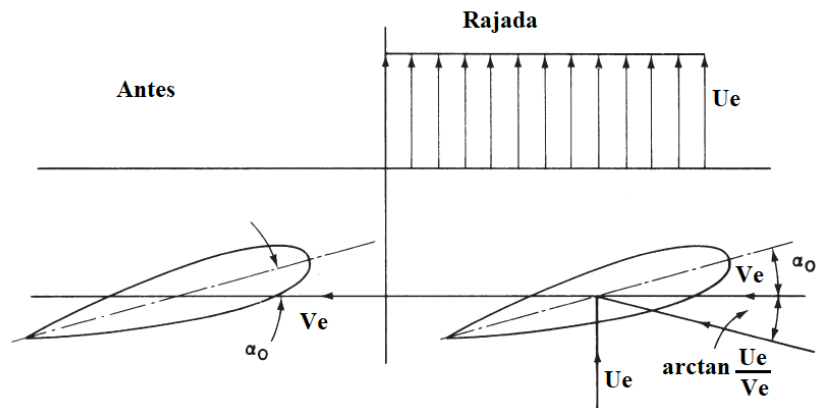




# Rajada de Contorno Vivo



# Rajada de Contorno Vivo



$$\tan \Delta\alpha = \frac{U_e}{V_e} \simeq \Delta\alpha$$

Do ponto de vista quase-estacionário a sustentação se altera de imediato:

$$\Delta L = \frac{1}{2} \rho V_e^2 c a_1 \Delta\alpha = \frac{1}{2} \rho V_e^2 c a_1 \frac{U_e}{V_e} = \frac{1}{2} \rho V_e c a_1 U_e$$

Mas, na prática, sabe-se que a sustentação não se altera de imediato:

$$\Delta L = \frac{1}{2} \rho V_e c a_1 U_e \Psi(\tau)$$

Função de Kussner

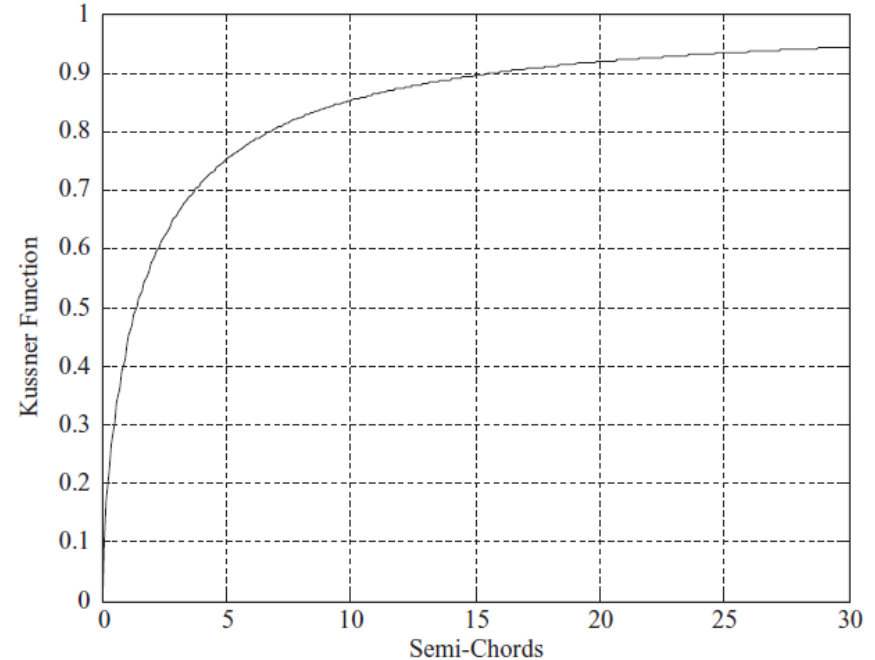
# Função de Kussner

$$\Delta L = \frac{1}{2} \rho V_e c a_1 U_e \Psi(\tau)$$



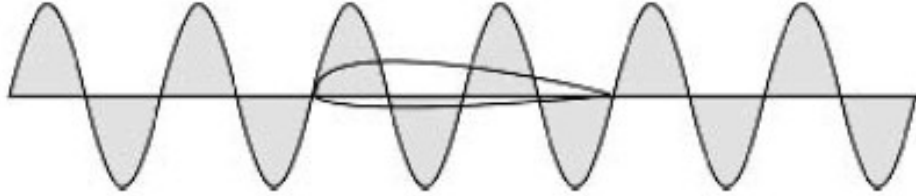
$$\Psi(\tau) = \frac{\tau^2 + \tau}{\tau^2 + 2.82\tau + 0.80}$$

$\tau$  (= distance travelled in semi-chords)



Entrada na rajada

# Rajada Senoidal – Função de Sears



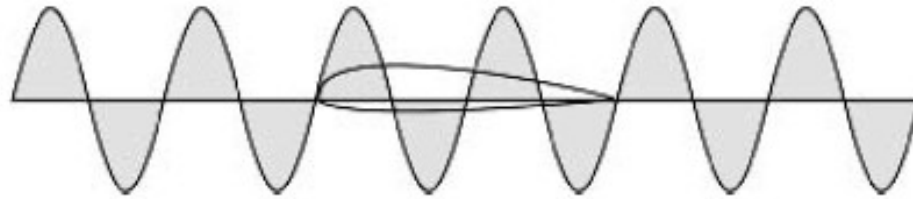
$$U_e = U_{e0} e^{i\omega t}$$

$$\Delta L = \frac{1}{2} \rho V_e^2 c a_1 U_{e0} e^{i\omega t} \phi(k)$$

$$\phi(k) = [J_0(k) - iJ_1(k)]C(k) + iJ_1(k)$$

$$|\phi(k)|^2 = \frac{d+k}{d+(\pi d+1)k+2\pi k^2}$$

# Rajada Senoidal – Função de Sears



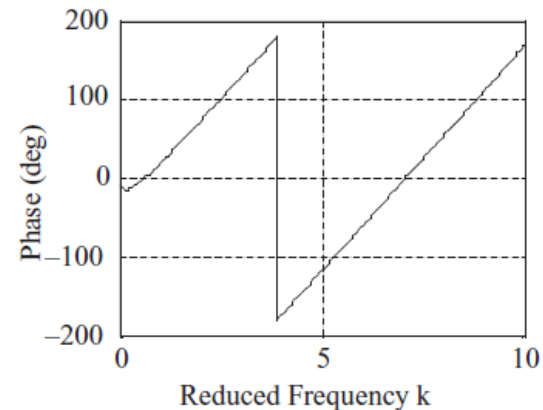
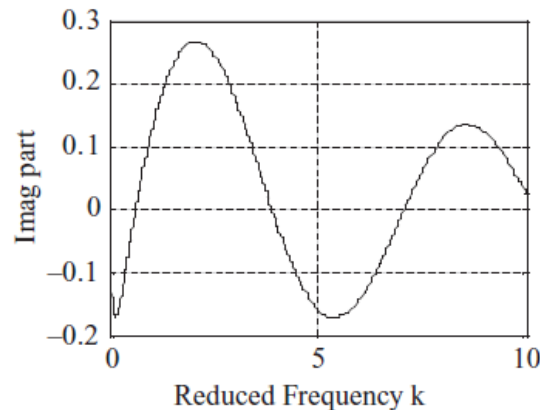
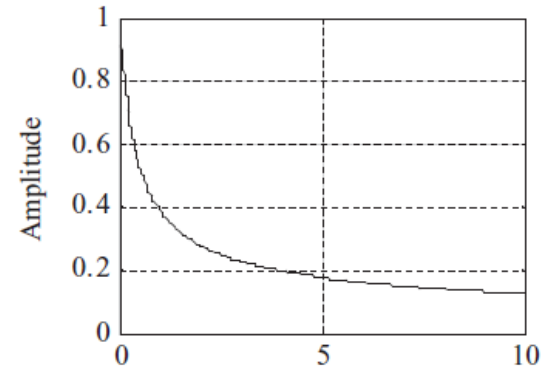
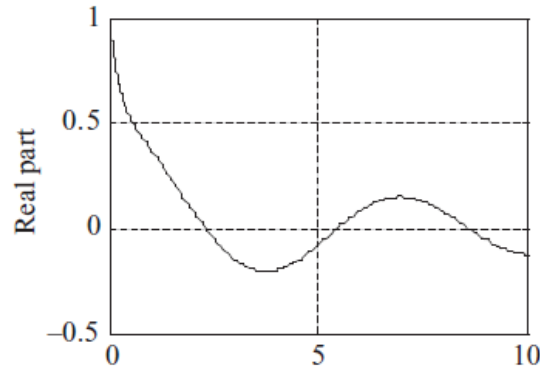
$$|\phi(k)|^2 = \frac{d+k}{d+(\pi d+1)k+2\pi k^2}$$

$$d=0,1811$$

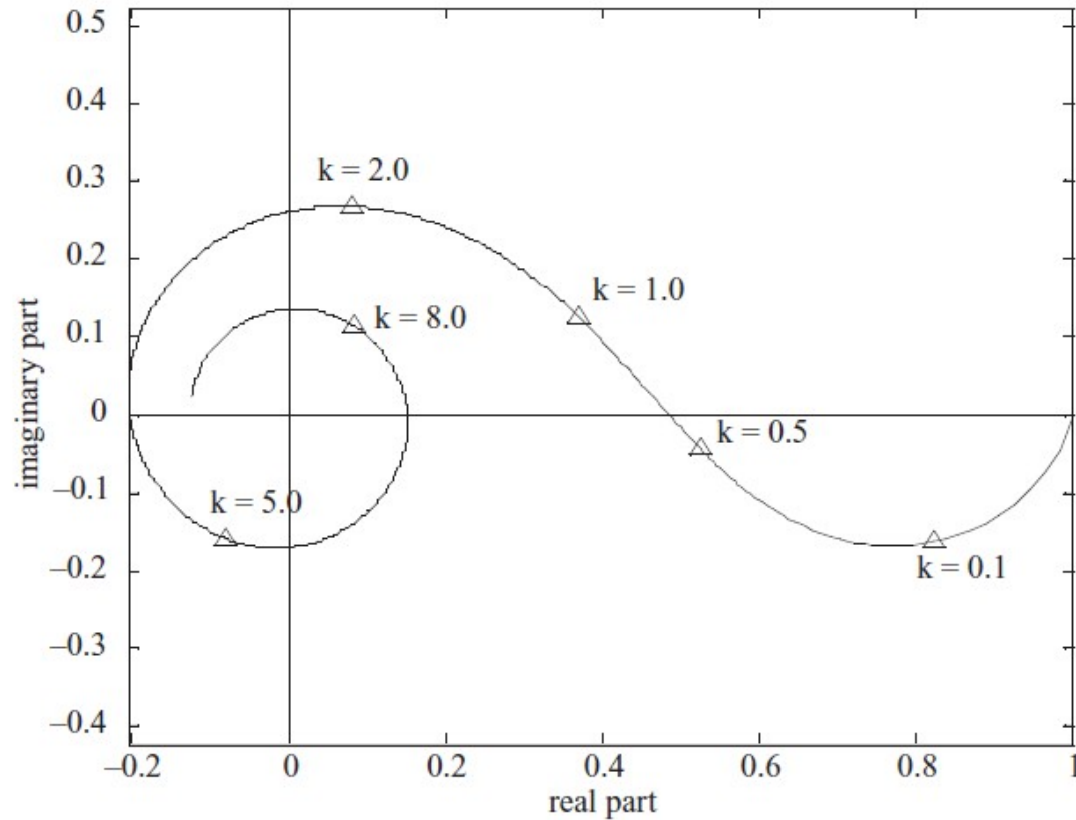
$$k \leq 0,61 \dots \phi(k) = -48,095 k^5 + 87,297 k^4 - 67,470 k^3 + 21,917 k^2 - 3,664 k$$

$$k > 0,61 \dots \phi(k) = 0,982 k - 0,597$$

# Rajada Senoidal – Função de Sears



# Rajada Senoidal – Função de Sears



# Exercícios

1. Usando a função Besselk do matlab determine a função de Bessel quando a frequência reduzida varia de  $0 < k < 10$



# Exercícios

2. Compare as derivadas aerodinâmicas regime não-estacionário e no quase-estacionário